

岐阜大学工学部 正会員 宇野尚雄

愛知県土木部 水野悦司

愛知県土木部 都葉隆之

1. 築堤履歴からみた堤防の土質構成

堤防は個々の地点で固有の条件をもち、種々の改修・増築等の履歴をもつてゐる考え方である。すなへる、歴史的経過、地形、地盤、土質の条件及び社会的、経済的環境に影響されてきたに違ひない。どのような土質構成の堤防が強く、安定したものかという問題を考えるために現状の堤防の土質構成を知る必要があるけれども、これは容易でない。そこで築堤履歴の観点から考えることとした。

改修の歴史を回顧すると、第一に昭和10年代の工事(昭和11年からの不審下流改修増補計画、昭和14年からの波川改修工事)と第二に昭和20年代から昭和30年代の改修(昭和28年からの木曾川改修總体計画、昭和29年からの淀川木系改修基本計画)による築堤工事が随層に現状に反映されてゐると考えられる。そこで、過去2回の築堤工事を復元してみる。工事は保護工を除けば、裏腹付け、裏腹付け、嵩上げの3ヶが基本でありますとすれば、基本的な断面構成を考えてみると、第1期と第2期の工事により、図-1に示す49種類の堤防土質構成が考えられる。左側が堤外地として描いてある。

収集した堤防の土質資料は不完全であるが、地盤、基本堤防、第1期、第2期の築増部の各土質の概略は表-1のようである。Sは砂、SCはシルト、Cは粘土が主な構成主体と見てよいことを表す。新しい年代の土質は砂質土が多くなっていることが特徴的である。29例の堤防土質構成を図-1にあてはめてみると、dd型がNo.6, 21, 23の3ヶ、No.3のdc型、No.15, 16, 17のd型、No.20のef型を含めて8例、db型がNo.5, 23, 24の3ヶ、No.1のeb型、No.4, 19, 29のb型を含めて7例、fg型がNo.8, 9, 12の3ヶ、No.7のac型、No.11のe型を含めて5例、eg型がNo.26, 27の2ヶ、No.13, 18のg型、No.10のf型、No.14のge型を含めて6例となった。これらの中から代表的な4断面を図-2

表-1 堤防の土質

基礎地盤	基本堤	第1期	第2期
No.1	C	S	砂よりSC
No.2	S	S	S
No.3	SC	S	砂よりSC
No.4	S	C	S
No.5			
No.6			
No.7			
No.8			
No.9			
No.10			
No.11			
No.12			
No.13			
No.14			
No.15	S/SC	C	C
No.16	S	C	S
No.17	S	C	S
No.18	S	C	S
No.19	C	C	S
No.20	S	S	S
No.21	C	砂	S
No.22	C	砂	S
No.23	S/SC	SC	S
No.24	S/SC	SC	S
No.25			
No.26	S	C/S	C/SC
No.27	S	C/S	C/SC
No.28			

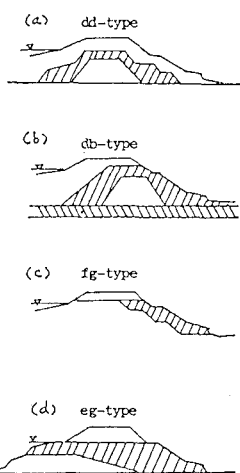
(注) S: 砂 SC: シルト C: 粘土
空白は不明

図-2 代表的な4種類の堤防土質断面構成

に示した。図-2をみると、全面的補強あるいは堤外側補強、それあるときは堤内側補強となり、どの地点の地盤や土地利用との関連等の諸条件が勘案されて堤防の構造が想起される。

2. 4種類の堤防モデルの浸透性状

堤防の浸透は実際の基礎地盤の透水性が高いことに影響されけれども、本文では堤体内の土質構成の特徴を明確にするため、以下では不透水性基礎として解析する。図-2の堤防を図-3の4タイプの堤防モデルにし参考とする。淀川試験堤防（高さ4m、天端幅2m、法面勾配1/5の単断面）と同じ大きさとし、基本堤と第1期部の土質を砂質土（飽和透水係数 $R_s = 1.9 \times 10^{-3} \text{ cm/s}$ ）とし、第1期部をシルト ($R_s = 1.9 \times 10^{-4} \text{ cm/s}$) と仮定する。透水係数危険含水率 θ を式で次式：

$$R/R_s = \theta/n = 1/(1 + A \cdot \theta_p^2)$$

ここで n : 陶隙率、 A : 砂で 0.0025 cm^2 シルトで 0.00025 cm^2 、 θ_p : 壓力水頭(cm)。すなわち、初期条件としての圧力水頭は堤体内で全土質が底面の高さに等しい条件をとる。図-4の外水位に3種の堤内浸透を解析して結果の一例を図-5、図-6に示す。

タイプ①と②はコア部を固むシルトがあり、類似しているが、③の方がシルト部が厚く、透水性は悪い。タイプ③と④はシルトが裏面を覆う形で、④は高水位部分にシルトの嵩上げがあり、大洪水時に遮水効果を発揮する。図-4の洪水継続時間は約110時間であるが、24時間後で①は表側のシルトが浸透を鈍らせていくこと、③では72時間後にはシルト部は浸透面に到達して浸透が速く、96時間では裏面に浸透面に変化し、その後108時間まで短時間の間に浸透面は急上昇し、堤高の $2/3$ の付近の高所となり、内部に高い陶隙水圧を発生させる結果となつている。その後(f)のように外水位低下とともに排水され、安定化に向う。外水位の洪水継続時間と堤防の透水性が関連して、上述の計算ではタイプ③は4ヶ中で最も悪く、ついて④、①、②順に良くなる。

- 参考文献 1) 青山・宇野：初期含水状態が堤体浸透に及ぼす影響、土木学会第36回年講、1981, pp.650~651.
2) 宇野・都築：土質構成からみた堤防の浸透と安定性、第17回土質工学研究発表会講演概要集、1982.

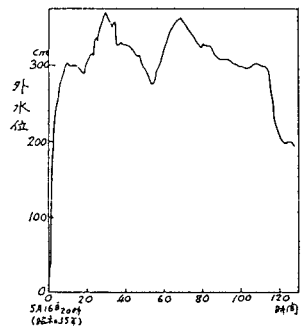
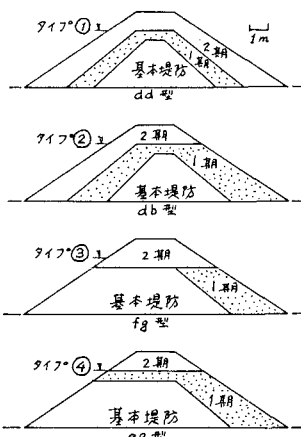


図-4 外水位変化

図-3 4タイプの堤防土質断面モデル

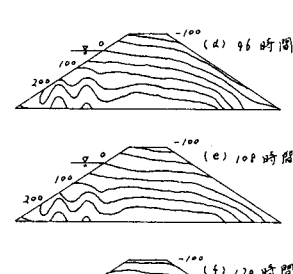
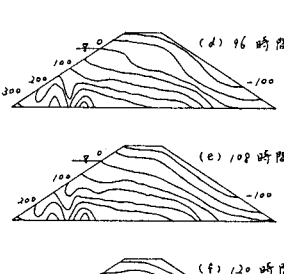
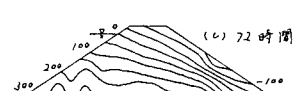
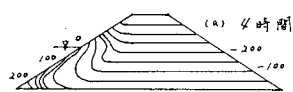
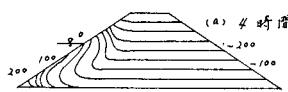


図-5 タイプ①の圧力水頭分布の変化

図-6 タイプ③の圧力水頭分布の変化